

خاستگاه گنیسهای بن دونو خاور بوانات - استان فارس

نوشته: کمال نوری خانکهادانی*، دکتر مسیب سبزه‌ئی**

و دکتر منصور وثوقی عابدینی***

Origin of Bon-Dono Gneisses- The East of Bavanat-Fars Province

By: K. Noori Khankahdani * , Dr. M. Sabzehei**

& Dr. M. Vosooghi Abedini***

چکیده

گنیسهای بن دونو، در مرکز تاقدیس کوه سفید توک در ۲۰۰ کیلومتری شمال خاوری شیراز رخنمون یافته است. مجموعه دگرگونی توک، میزبان این گنیسهای بخشی از نوار دگرگونی سنتدج- سیرجان است. بررسیهای صحرایی نشان می‌دهد که: (۱) سن سنگهای منشأ این مجموعه دگرگونی، پالئوزوییک زیرین تا بالایی بوده و شامل مجموعه‌ای از میکاشیست، آمفیولیت، مرم و شیست سبز است که حادثه دگرگونی ناحیه‌ای آن، پیش از ژوراسیک بالایی رخ داده است (۲) سپس مجموعه توک مورد هجوم یک توده گرانیتی قرار گرفته و بسیاری از سنگهای حاشیه‌ای این توده تحت تأثیر دگرگونی همبری واقع شده‌اند (۳) این توده گرانیتی، بعدها در اثر عملکرد یک زون برشی بزرگ مقیاس به گنیس تبدیل شده است. در حقیقت گنیسهای بن دونو حاصل پدیده میلونیتی شدن توده گرانیتی است که سنگهای دگرگونی ناحیه‌ای رانیز مورد تهاجم قرار داده است. شواهد صحرایی، سنگ‌شناسی و ژئوشیمیایی این گنیسهای همگی نشانگر آن است که این سنگها نوعی ارتوگنیس یا گنیس با منشأ ماگمایی هستند.

کلید واژه‌ها: گنیس، بن دونو، سنتدج- سیرجان، ارتوگنیس، میلونیتی شدن

Abstract

Bon-Dono Gneisses are exposed in the core of Tutak anticline, 200 km NE of Shiraz. Tutak metamorphic complex or the host rock of these gneisses is part of Sanandaj- Sirjan Metamorphic Belt. Field studies have shown that: (1) the age of protoplast of Tutak complex is Upper to Lower Paleozoic. It is comprised of various micaschists, amphibolites, marbles and greenschist. They are metamorphosed in a pre-Upper Jurassic metamorphic event. (2) Tutak complex had been invaded later by a granitic body. Previous regional metamorphic rocks had been subjected to a contact metamorphism resulted from this intrusive magma. (3) This granitic body had been subjected to mylonitization in a shear zone and converted to the so-called Bon-Dono Gneiss. Field, petrographic and geochemical studies all indicate magmatic nature of original protolith of so- called Bon-Dono gneisses.

Key Words: Gneiss, Bon-Dono, Sanandaj-Sirjan, Orthogneiss, Mylonitization

-۱ مقدمه

منطقه مورد بحث ابتدا در چهارچوب تهیه نقشه‌های ۱:۲۵۰۰۰۰ توسط هوشمند زاده و سهیلی (۱۳۶۹) مطالعه شده است. همچنین نقشه ۱:۱۰۰۰۰۰ سوریان که توسط اویسی و همکاران (۱۳۸۲) تهیه گردیده، محدوده کوه سفید توک را نیز دربرمی‌گیرد. با آنکه هر دو گروه مذکور، بر

تاقدیس کوه سفید توک در بین طولهای خاوری ۴۵°-۵۳° تا ۰۰°-۵۴° و عرضهای شمالی ۱۴°-۳۰° تا ۳۰°-۲۰° قرار دارد (شکل ۱). سنگهایی که به نام گنیس بن دونو شهرت یافته در بخش مرکزی این تاقدیس قرار گرفته است. طول این توده گنیس در حدود ۱۳ کیلومتر با روند عمومی-NW-SE بوده و عرض آن در راستای NE-SW حدود ۲/۵ کیلومتر است (شکل ۲).

مسائل سنگ شناسی، به مراتب از روشهای تک بعدی ژئوشیمیابی موجه تر است. در پژوهش حاضر بیشترین تلاش صرف تهیه یک نقشه زمین شناسی گویا از گنیسهای بن دنو در ارتباط با سنگهای دگرگونی و رسوبی اطراف آن شده است (شکل ۲) که در بخش بعدی، خلاصه ای از سنگ شناسی واحدها ارائه می شود. در مراحل بعد، مطالعاتی مانند بررسیهای سنگ نگاری و ژئوشیمیابی انجام گرفته که نتایج آن با دریافتهای صحرایی هماهنگ بوده و در ادامه مورد بحث قرار می گیرند.

۳- کالبد زمین شناختی منطقه مورد مطالعه (شواهد صحرایی)

در منطقه مورد مطالعه مجموعه های سنگی زیر دیده شده است (شکل ۲):

۱-۱- مجموعه چند دگرگونی (پالئوزویک)

قدیمی ترین بخش این دگرگونیها را شیسته و هورنفلسهاهای تیره رنگ تشکیل می دهدن (واحد BSH) که بر روی آن تنابوی از مرمر، شیست سبز و آمفیولیت قرار دارد (واحد MGA) بخشی از واحد (BSH) که در تماس مستقیم با گنیسهای بن دنو قرار دارد به هورنفلس تبدیل شده و فاقد برگوارگی است. بر روی واحد (MGA) مرمرهای ستبرلایه کوه سفید تو تک (واحد Mb) قرار گرفته که در آن یک واحد کنگلومرایی (کنگلومرای مرشدی Alric & Virlogeux (1977) نیز دیده شده که به شدت میلونیتی شده است (واحد MC) قطعات این کنگلومرا از گنیسهای آمفیولیتها و میکاشیستهایی تشکیل شده است که به هیچ وجه شباهتی به سنگهای دگرگونی منطقه ندارد و از یک منشأ ناشناخته سرچشمه می گیرد. در واحد (Mb) فسیلهای دونین بالایی- کربنیفر زیرین یافت شده است (نوری خانکهادانی، ۱۳۸۴). فیلیتها، میکاشیستهای و شیستهای سبز، واحد PS (یعنی جوان ترین عضو مجموعه چند دگرگونی را تشکیل می دهدن. آثار میلونیتی شدن در تمامی اعضای این پیکره چند دگرگونی مانند مرمرها، میکاشیستهای و کنگلومراها (واحد MC) دیده می شود. آثار دگرگونی همبیری و تبدیل شیستهای به هورنفلس نیز در منطقه بلافصل همبیری این مجموعه با گنیسهای دیده می شود (شکل ۴).

۲-۳- توده های نفوذی و معادل میلونیتی شده آنها

گستردترین پیکره سنگی این مجموعه گنیسهای بن دنو (واحد G_{n}^B) است که در مرکز تقادیس تو تک با مقطع بیضوی کشیده (در امتداد NW-SE) قرار گرفته است. مطالعات صحرایی نشان داده است که: الف) گنیسهای دارای یک برگوارگی کلاسیک میلونیتی هستند که دور درشت بلورهای سنگ اولیه می چرخدن (شکل ۸) درشت بلورها عموماً

ارتوجکیس بودن توده گنیسی بن دنو اشاره داشته اند، ولی هیچ گاه دلایل قاعده کننده ای برای خاستگاه این گنیسها ارائه نشده است. مسئله خاستگاه رسوبی یا آذرین گنیسها از دیرباز مورد توجه سنگ شناسان بوده است. برخی از سنگ شناسان مانند Werner (1987) به شیوه ژئوشیمیابی توصل جسته و بعضی از آنها مانند Passchier et al. (1990) Passchier & Trouw (1998) ساخت و بافت گنیسها را برای تعیین منشأ گنیسها بسیار با اهمیت دانسته اند. البته تلفیقی از این روشهای هم در بعضی موارد به کار گرفته شده است. در این مقاله، از دو روش مذکور با تکیه بر شواهد صحرایی استفاده شده است.

۲- روش مطالعه

در پژوهشی که نتایج آن از نظر می گذرد، برنامه کار بر اساس پرسشهای زیر بینان گذاری شده است:

- آیا رابطه توده گنیسی بن دنو با سنگهای میزبان یک رابطه نفوذی است و یا آن که گنیسها حاصل یک دگرگونی پیشرونده بوده و در زیرترین بخشها یک مجموعه دگرگونی ناحیه ای قرار دارند.
- ساختهای بزرگ مقیاس، متوسط مقیاس و میکروسکوپی این گنیسها گویای چه واقعیاتی است؟

۳- تغییرات سنگ شناسی درون گنیسها از چه الگویی پیروی می کند و اگر مثلاً این گنیسها در اصل یک گرانیت بوده اند، آیا آثاری از تغییرات سنگ شناسی توده های گرانیتی به جا مانده است؟ و یا اگر گنیسها، منشأ رسوبی دارند از این تغییرات سنگ شناسی اثر دیده می شود؟

۴- اگر حاده ای گنیسها را به وجود آورده، آیا این حاده بر سنگهای دیگر نیز اثری بر جای گذاشته است؟ اگر مثلاً توده گرانیتی در اثر میلونیتی شدن تبدیل به گنیس شده، آیا این فاز میلونیتی بر سنگهای میزبان توده گرانیتی نیز اثر کرده است؟

۵- طرح این پرسش که آیا میلونیتی شدن بر هالة دگرگونی همبیری ناشی از نفوذ مagma گرانیتی نیز اثر کرده، توجیه معمولی دارد، لذا جستجوی تأثیر عامل گنیس زایی بر تمامی سنگهای منطقه، یکی از برنامه های این پژوهش بوده است.

در آغاز، تمامی تلاشها برای یافتن منشأ گنیسها بر روی مسائل صحرایی متوجه گردیده و سعی شده است ابتدا سناریوی تحولات زمین شناختی منطقه معلوم گردد و جای واقعه گنیسی شدن سنگهای اولیه در این تحولات مشخص گردد، آنگاه از روشهای ژئوشیمیابی فقط برای تأیید یا رد نظریه استفاده شود. باور نگارندگان این است که این گونه رهیافت به

باید خاطر نشان ساخت که در مرحله دوم، یا تشکیل توده گرانیتی، پدیده‌های تفرقی ماگمایی نیز اتفاق افتاده که تشکیل آپلیتها از بارزترین مظاهر آن است.

همچنین یکی از شواهد نفوذ شار گرمایی ماگمای گرانیتی به درون میکاشیستها آثار ذوب بخشی محدود در این سنگهاست (شکل ۷) که به صورت عدیها و رگه‌هایی در میکاشیستها شکل گرفته و دور این عدیها عموماً از بیوتیت غنی شده است.

۳-۳- مژوزویک نادگرگونی

بر روی مجموعه‌های آذرین و دگرگونی قبلی، ماسه‌سنگها و آهکهای ماسه‌ای ژوراسیک بالایی - کرتاسه زیرین (واحد JKL) قرار گرفته است. در قاعده این مجموعه‌های رسوبی، کنگلومراپی دیده می‌شود که سرشار از قطعات مرمر، گنیس و آمفیولیتی‌های کوه سفید توک است که نشان از آن دارد که رویدادهای ذکر شده قبلی، اعم از دگرگونی ناحیه‌ای، نفوذ توده گرانیتی و گنیسی شدن این توده همراه با میلونیتی شدن تمامی واحدهای سنگی کوه سفید توک، پیش از ژوراسیک بالایی اتفاق افتاده است. زمان دقیق این حوادث هنوز نامعلوم است ولی به احتمال قوی، بخشی از آنها در رویدادهای کوهزایی هرسی‌نین و برخی دیگر در حادثه کوهزایی کیمیرین آغازین رخ داده است.

۴- شواهد سنگ نگاری

شواهد میکروسکوپی زیر دلایل سنگ شناسی حاکی از تأثیر دگرگونی حرکتی بر روی گرانیتهای بن دونو و تبدیل آنها به گنیسهای این منطقه است:

- گنیسهای عموماً دارای بافت پورفیرو کلاستیک با زمینه جریانی هستند که نشان از یک حرکت خمیری (Ductile Flow) (دارند، بافت‌های چشمی ساده و چشمی مرکب، تشکیل نوارهای غنی از کوارتز، تشکیل درشت‌بلورهای دلتایی و گرانیتی بودن درشت‌بلورها همگی نشان از آن دارد که پروتولیت این سنگها گرانیت بوده و در شرایطی میلونیتی شده‌اند که کوارتز حرکت خمیری پیدا کرده ولی هنوز فلدسپارها ترد و شکننده بوده‌اند (شکلهای ۹ و ۱۰). به عقیده Spear et al. (2002) چنین حرکاتی، در دماهای بین ۳۰۰ و ۴۰۰ درجه سانتی گراد رخ داده است. Barker (1991) نیز عقیده دارد که تشکیل درشت‌بلورهای دلتایی در دماهای نسبتاً پایین روى می‌دهد.

- تشكیل میکروکلین، و میکروکلین پریتی و میکروکلین میکروپریتی در این گنیسهای به احتمال بسیار زیاد حاصل میلونیتی شدن است (شکلهای ۱۱ و ۱۲) چرا که به گفته Buttner (1999) در حین پدیده میلونیتی شدن و

دارای بافت دانه‌ای بی‌شکل (Xenomorphic Granular) بوده و ظاهری کاملاً مانگمایی دارند.

علاوه بر آن نوارهای غنی از کوارتز که فضای بین آنها را نوارهای غنی از بیوتیت اشغال کرده و نیجه نوعی جدایش مکانیکی حاصل از میلونیتی شدن گرانیتهای اولیه است، در متن سنگها دیده می‌شود.

(ب) در بسیاری از برونزدها، درشت‌بلورهای بسیار بزرگ مقیاس از گرانیتهای اولیه در گنیسها دیده می‌شود که بر روی نقشه زمین‌شناسی به عنوان یک واحد مستقل با علامت (G_r^B) تفکیک شده‌اند. برگوارگی عمومی گنیسها، واحد (G_r^B) را دور می‌زند.

(ج) همانند بسیاری از توده‌های گرانیتی، تمرکز آپلیتهای تورمالین دار و آپلیتهای گارنیت دار (به ترتیب واحدهای A_p^t و A_p^g) در حاشیه توده گنیسی نزدیک هورنفلسها قرار دارد که امری طبیعی است زیرا فاز پنوماتولیتی توده‌های نفوذی در بیشتر موارد در سقف توده نفوذی تمرکز پیدا می‌یابد.

این واحدها، خود تحت تأثیر حادثه میلونیتی شدن قرار گرفته‌اند. واحد (G_n^a) گنیسایی هستند که از میلونیتی شدن آپلیتها به دست آمده‌اند.

- وجود بیگانه‌سنگها در گنیسها (شکل ۵) و میلونیتی شدن و کشیده شدن این بیگانه‌سنگها، در هماهنگی کامل با میلونیتی شدن سنگهای درونگیر این بیگانه‌سنگها، نشان از آن دارد که گنیسها در اصل توده‌های نفوذی گرانیتی بوده‌اند که در مجموعه دگرگونی قبلی نفوذ کرده و قطعاتی از آنها را به صورت بیگانه‌سنگ در خود گرفته‌اند، سپس همگی تحت تأثیر میلونیتی شدن واقع شده‌اند. این بیگانه‌سنگها عموماً میکاشیست و آمفیولیتی‌های سنگهای میزبان توده گرانیتی هستند. بعضی از این بیگانه‌سنگهای بزرگ که به ندرت ماهیت کربناتی دارند، با علامت (CX) نشان داده شده‌اند.

(ه) رابطه گنیسها با سنگهای میزبان یک رابطه کاملاً نفوذی است. در بسیاری از برونزدها، بازوها بی از گرانیتهای اولیه، درون میکاشیستها (واحد BSH) تزریق شده که رابطه نفوذی آن را کاملاً مشخص می‌سازد (شکل ۳) سطح تماس گرانیت اولیه با سنگهای دگرگونی مجموعه چند دگرگونی قبلی کاملاً نامنظم بوده و به طور مشخص، یک رابطه نفوذی را به نمایش می‌گذارد. آنچه در این رابطه از اهمیت ویژه‌ای برخوردار است، میلونیتی شدن این بازوها به همراه سنگهای دگرگونی همبrijی اطراف آنهاست که نشان می‌دهد سناریوی تحولات دارای چندین مرحله است که عبارتند از: (۱) تشکیل سنگهای دگرگونی ناحیه‌ای، (۲) نفوذ توده گرانیتی و ایجاد دگرگونی همبrijی، (۳) میلونیتی شدن گرانیتها و سنگهای دگرگونی همبrijی.

گرانتوییدهای پس از کوهزایی (POG) قرار دارند. از آنجا که گرانتهای اولیه (سنگهای اولیه گنیسهای) به قین پس از دگرگونی ناحیه‌ای مجموعه دگرگونی توکنک نفوذ کرده‌اند، می‌توان آنها را به نوعی گرانتوییدهای پس از کوهزایی نامید و انطباق آنها در نمودار (Maniar & Piccoli 1989) با گرانتهای پس از کوهزایی (POG) را شاید بتوان یک انطباق منطقی به شمار آورد. گرانتوییدها و گنیسهای بن‌دونو بر اساس نمودار شکل ۲۱ در گروه گرانتهای گونه I قرار می‌گیرد. این گرانتهای عموماً بر اثر ذوب بخشی سنگهای بازی به دست می‌آیند. هنوز در این منطقه شواهد مستقیم دال بر پیدایش گرانت از ذوب بخشی آمفیولیتها یا کابروهای قدیمی به دست نیامده است، لذا در حال حاضر، اظهارنظر در مورد سنگ منشأ و پدیده‌های تشکیل این گرانتوییدها امکان‌پذیر نبوده و از حدود این نوشتار نیز خارج است.

۶- نتیجه‌گیری

مهم‌ترین نتایج حاصل از این پژوهش را می‌توان به اختصار به صورت زیر بیان نمود:

۱- گنیسهای بن‌دونو گرچه در هسته تاقدیس کوه سفید توکنک قرار گرفته‌اند اما پیوند زایشی با دگرگونی ناحیه‌ای منطقه نداشته و نشانگر بالاترین درجه دگرگونی فزاینده ناحیه‌ای نیستند.

۲- سناریوی تحولات و رویدادهای دگرگونی در منطقه کوه سفید توکنک به ترتیب از قدیمی ترین تا جدیدترین به شرح زیر است:

الف) اوج دگرگونی ناحیه‌ای که مجموعه دگرگونی کوه سفید توکنک را به وجود آورده است در زمانی پس از کربنیفر و پیش از ژوراسیک پسین رخ داده است. احتمالاً این دگرگونی در فاز کوهزایی هرسی نین یا کیمرین آغازین رخ داده است.

ب) تزییق توده مونزو و گرانیتی درون سنگهای دگرگونی ناحیه‌ای و ایجاد هالة دگرگونی همبزی (هورنفلس)، متاسوماتیسم پتابسیمی و ذوب بخشی محدود سنگهای میزان.

ج) میلونیتی شدن تمامی مجموعه‌های دگرگونی قبلی به همراه توده گرانیتی بن‌دونو و ایجاد گنیس بن‌دونو بر اثر همین دگرگونی حرکتی.

۳- از دیدگاه ژئوشیمیابی، گنیسهای بن‌دونو منشأ ماقمایی داشته و جزو گرانتوییدهای پس از کوهزایی به شمار می‌آیند.

با این تفاسیر، منشأ ماقمایی گنیسهای بن‌دونو بدیهی است و می‌توان آنها را ارتونگنیس نامید.

۴- شیوه‌ای که در این کار پژوهشی دنبال شده، نشان داد که برای حل مسائل سنگ‌شناسی، مهم‌ترین و با ارزش ترین شواهد، آنهایی هستند که از مطالعات صحرایی به دست می‌آیند. شواهد سنگنگاری و ژئوشیمیابی

تبديل گرانت به گنیس، بیشتر فلدسپارهای قلیایی به میکروکلین تبدیل می‌شوند. (Barker 1991) نیز اعتقاد دارد که تشهای برشی، عامل تبدیل ارتوكلاز به میکروکلین هستند. فراوانی میکروکلین در گنیسهای بن‌دونو و کمیابی آن در گرانتهای این منطقه، کاملاً با این موضوع سازگاری دارد. نوارهای کوارتز در گنیسهای بن‌دونو ستر و ناپوسته بوده و از سیلان خمیری کوارتز حاصل شده است، در حالی که در گنیسهای حاصل از سنگهای رسوبی، این بالدها نسبتاً کم سترا اما بسیار ممتدا هستند.

• تأثیر پدیده‌های میلونیتی بر دیگر واحدهای منطقه مانند واحدهای MC، MGA ، BSH ، Mb و PS هم در مقیاس صحرایی و هم در مقیاس میکروسکوپی دیده می‌شود (شکل ۱۴).

برای مثال، بسیاری از مرمرهای کوه سفید توکنک بافت اولیه موزاییکی دارند اما بر اثر پدیده میلونیتی شدن، بافت خرد شده و جهت یافته به خود گرفته‌اند (شکل ۱۳) در این سنگها نیز درشت‌بلورهایی از جنس همان قطعات مرمر با بافت موزاییکی دیده می‌شود که کلسیتهای جهت یافته آنها را دور می‌زنند.

• در بسیاری از آمفیولیتهای نزدیک گنیسهای که در واحد (MGA) قرار دارند، بیوتیهایی به خرج آمفیولهای اولیه به وجود آمده که به احتمال بسیار قوی به علت واکنش سیالهای غنی از پتانسیم گرانتی با آمفیولهای این سنگهاست (شکل ۱۵). در حقیقت وجود این پدیده، نشانی از نفوذ گرانت در مجموعه دگرگونی قدیمی و وقوع پدیده متاسوماتیسم قلیایی خواهد بود.

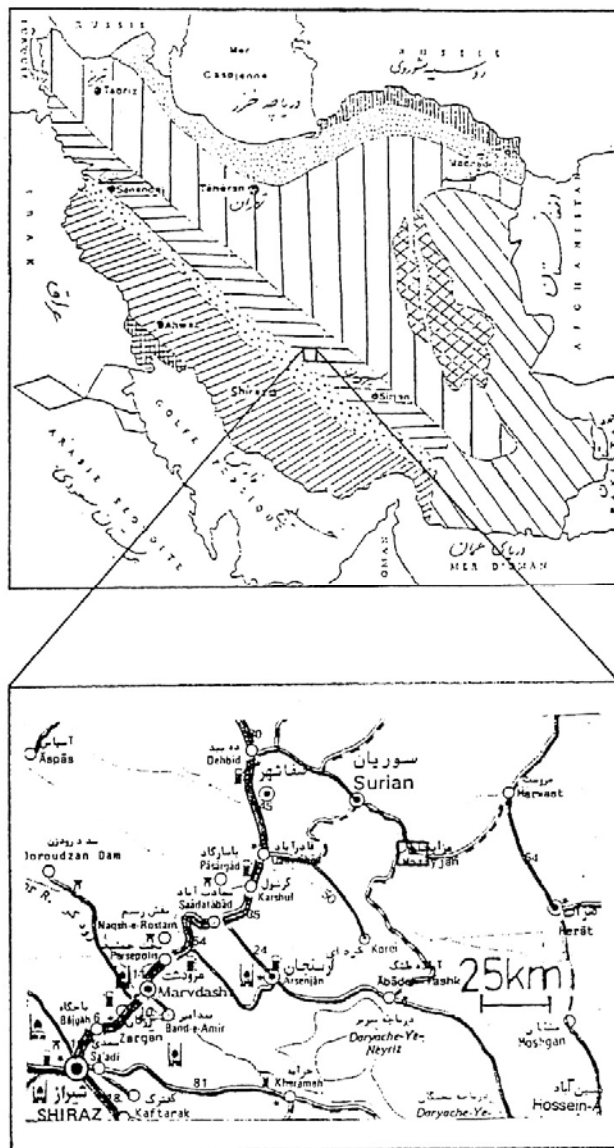
• تجزیه کانی شناختی مodal گرانتها و گنیسهای بن‌دونو نشان از آن دارد که این واحدهای سنگ شناسی ترکیب مodal کاملاً یکسانی دارند (جدولهای ۱ و ۲). همچنین در نمودار (Streckeisen 1976) هر دو محدوده مونزو گرانت تا اوایل سینو گرانت را اشغال می‌کنند (شکل ۱۶).

۵- شواهد ژئوشیمیابی

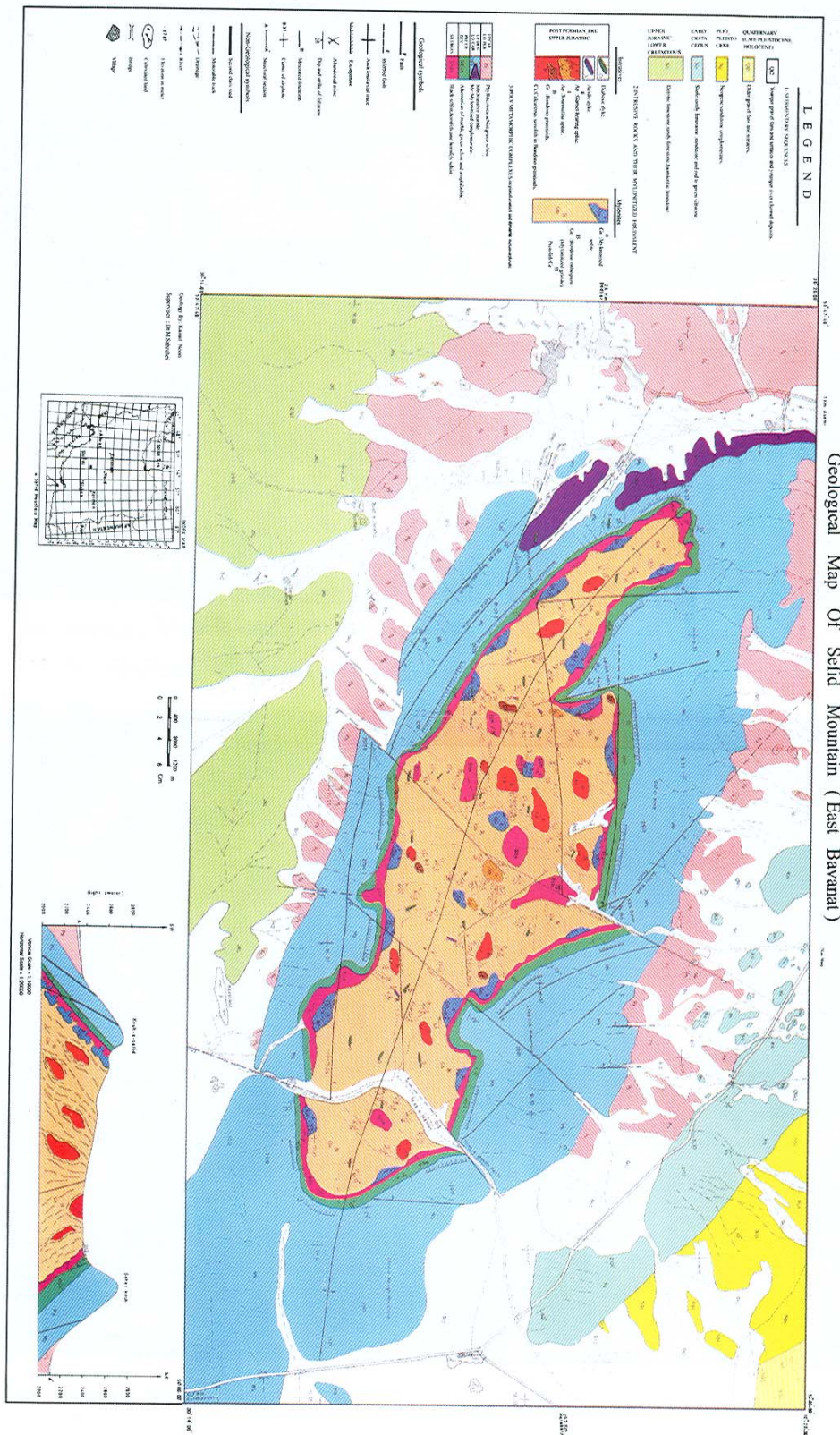
مرسوم‌ترین نموداری که برای تشخیص خاستگاه ماگمایی یا رسوبی گنیسه استفاده می‌شود، نمودار (Werner 1987) است. همان گونه که در شکل ۲۲ دیده می‌شود، همه نمونه‌های گرانتی و گیسی، در منطقه ماگمایی قرار می‌گیرند. لذا از دیدگاه ژئوشیمیابی نیز بدینه است که گنیسهای بن‌دونو در اصل سنگهای ماگمایی بوده‌اند. این گرانتها عموماً در محدوده گرانت کلسیمی- قلیایی (کالک آلکالن) (شکلهای ۱۷ و ۱۸) و گرانت- ژئوشیمیابی پرآلومینوس قرار می‌گیرند (شکل ۱۹). در نمودارهای Maniar & Piccoli (1989) یعنی شکل ۲۰، بیشتر نمونه‌ها در محدوده

معلوم شد که یک گرانیت پس از کوهزایی است و مطالعات ژئوشیمیایی نیز ثابت کرد که این گرانیتها همگی در حوزه گرانیتوییدهای پس از کوهزایی (POG) قرار می‌گیرند.

می‌توانند در تحکیم و تأیید شواهد صحرایی مؤثر افتد و به آنها معنا و مفهوم سنگزایی بدهنند نه آنکه بتوانند به تهایی شواهد ژئودینامیکی باشند. مثال بارز این اظهارنظر، منشأ گرانیتها است که با مطالعات صحرایی



شکل ۱- موقعیت منطقه مطالعاتی در ایران (Stocklin,1968) و راههای ارتباطی آن (نقشه راهها- سحاب)



شکل ۲- نقشه زمین‌شناسی کوه سفید تو تک خاور بوانات فارس



شکل ۳- منطقه همیری بین گرانیت گنیسهای بن دونو (AGn) و میکاشیستهای هورنفلسی شده سیاه رنگ سنگ دیواره (BSH). در این منطقه بازوهای گرانیتی، درون میکاشیستها تزریق شده و آنها را به هورنفلس تبدیل کرده است.



شکل ۴- دگرگونی همیری گرانیتهای بن دونو بر روی میکاشیستهای سیاه رنگ و تبدیل آنها به بیوتیت هورنفلس



شکل ۵- بیگانه سنگ میکاشیستی درون گرانیتهای بن دونو



شکل ۶- هضم بیگانه سنگهای میکاشیستی درون گرانیت بن دونو.

بیگانه بلورهای بیوتیت حاصل از میکاشیستها از بیوتیتهاي ماگماي توسيط دو ويزگي از هم متمايز می شوند:

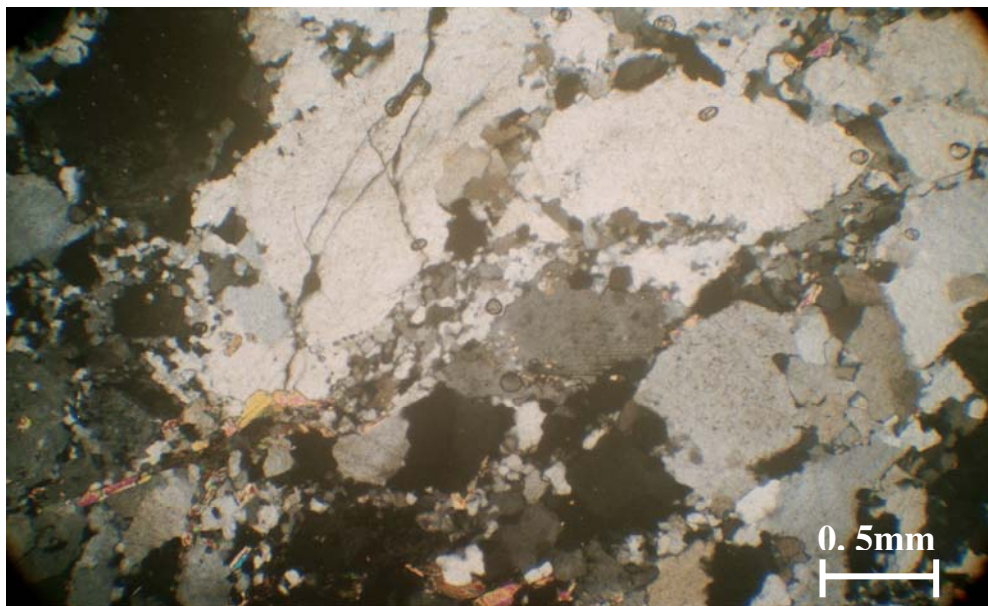
۱) بیگانه بلورها به صورت تجمع دیده می شوند. ۲) بیگانه بلورها ریز بلورتر هستند.



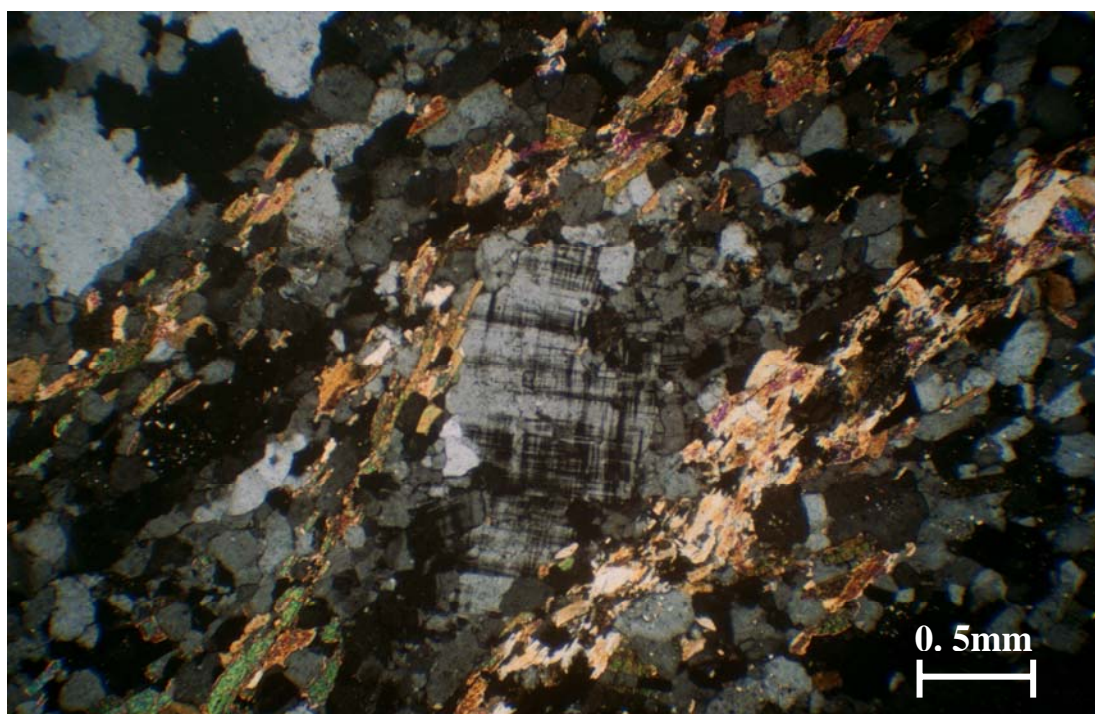
شکل ۷) آثار ذوب بخشی محدود در میکاشیستهای هورنفلسی شده منطقه تماس با گرانیتهای بن دونو



شکل ۸- درشت بلورهای گرانیتی باقیمانده و حفظ شده درون گنیسهای بن دونو. نکات با اهمیت این تصویر در این موارد خلاصه می‌شود:
 ۱) ارتباط زیشی این قطعات گرانیتی با گنیسهای دربر گیرنده خود کاملاً مشخص بوده ترکیب کانی‌شناسی هر دو نیز دقیقاً مشابه است. ۲) وجود قطعات درشت بلور درون یک خمیره خرد شده و دارای فابریک جهت یافته شاخص بافت‌های میلونیتی است که مسلماً طی دگر گونهای حرکتی ایجاد می‌شوند.
 ۳) درشت بلورها به صورت چشمی ساده و یا چشمی مرکب دیده می‌شوند. ۴) درشت بلورها در شکل بالا، دارای دنباله‌های کوتاه و گوهای می‌باشند. بنابراین از نوع درشت بلورهای دلتایی بوده که در ابتدای میلیونیتی شدن سنگها تشکیل می‌شوند.



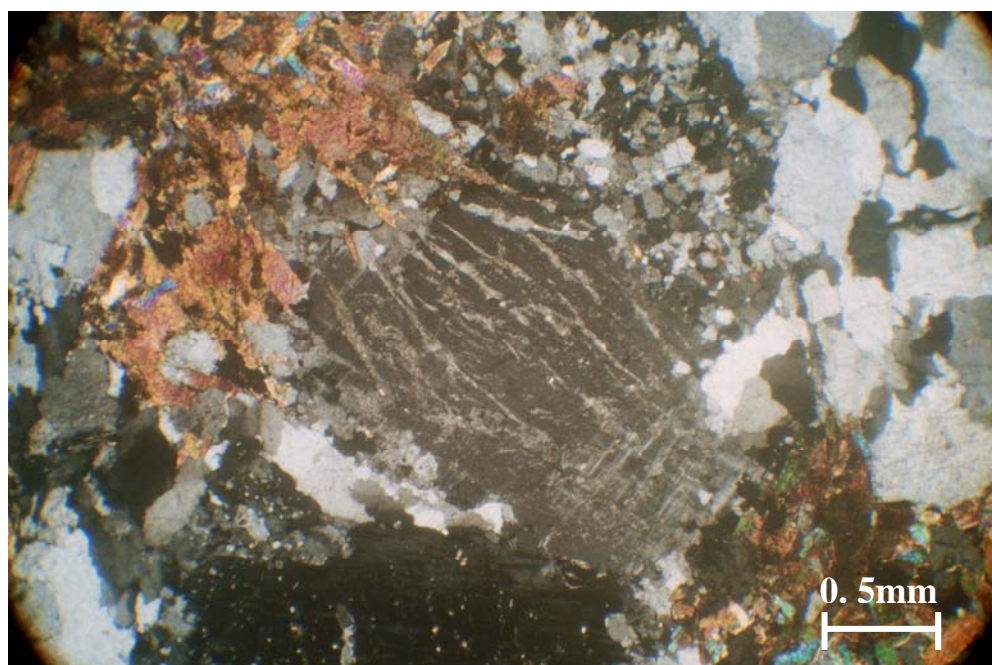
شکل ۹- مقطع میکروسکوپی گنیسهای بن دونو یا در حقیقت گرانیتهای میلوینیتی شده بن دونو (XPL). در این عکس، بلورهای خرد شده و جریان یافته کوارتز و میکا خمیره جهت یافته سنج را می سازند که قطعات مقاوم تر و درشت تر یعنی درشت بلورهای فلدسپار پناسیم را دربر گرفته اند. این ویژگی، مخصوص فابریکهای میلوینیتی است بنابراین نام گرانیت میلوینیتی شده برای گنیسهای بن دونو مناسب خواهد بود.



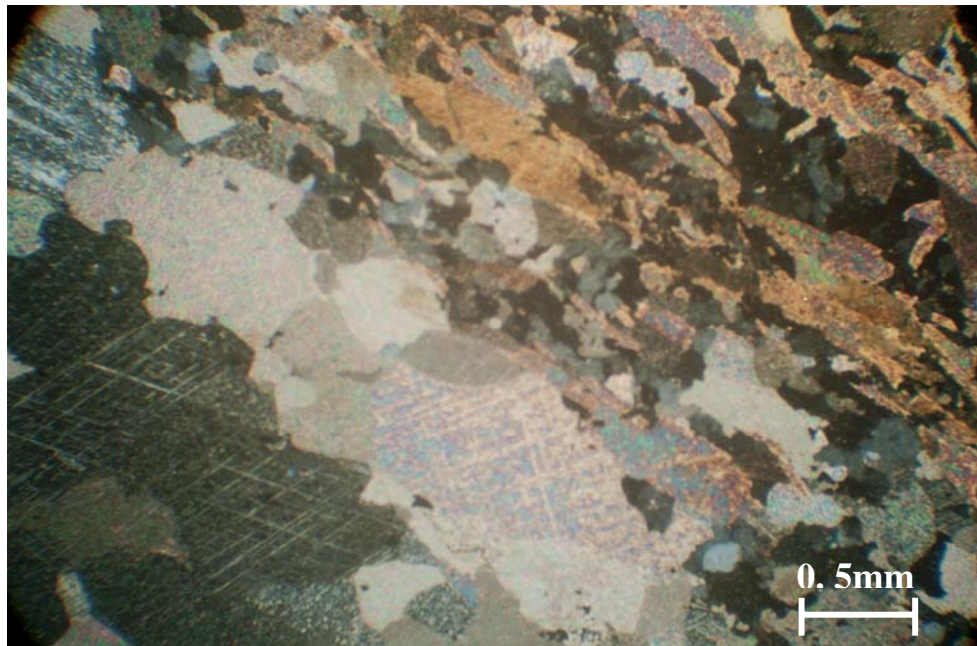
شکل ۱۰- قرار گیری درشت بلورهای میکرو کلین در خمیره دارای خرد شدگی و جهت یافته از جنس کوارتز و میکا در گنیسهای بن دونو (XPL)



شکل ۱۱- درشت بلور میکرو کلین با فابریک چشمی در گنیسهای منطقه (XPL)



شکل ۱۲- درشت بلور فلدسپار پتاسیم میکرو کلین میکرو پرتیتی در گنیسهای بن دونو (XPL)



شکل ۱۳- مرمرهای میلونیتی شده منطقه کوه سفید توک (XPL)

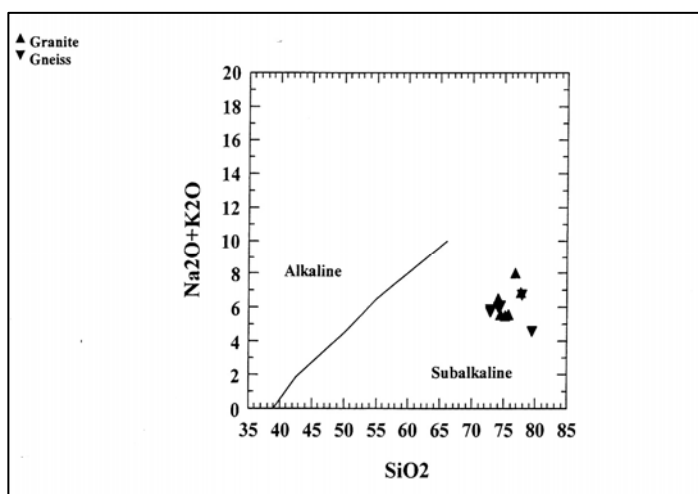


شکل ۱۴- رخنمون کنگلومرای میلونیتی شده مرشدی، فابریکهای چشمی و دوکی موجود در این سنگ حاصل

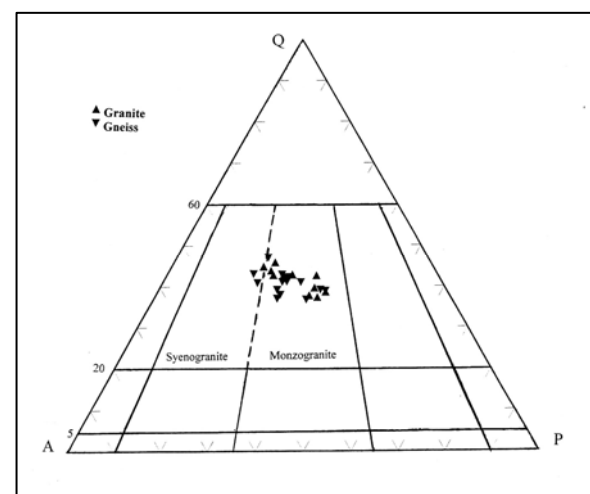
عملکرد تنشهای برشی ناشی از دگرگونی حرکتی است.



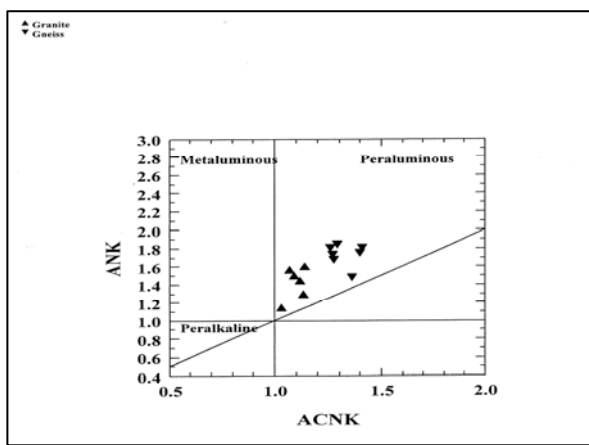
شکل ۱۵- تشکیل بیوتیت بر روی آمفیبولیتهای مجاور گرانیت گنیسهای بن دونو



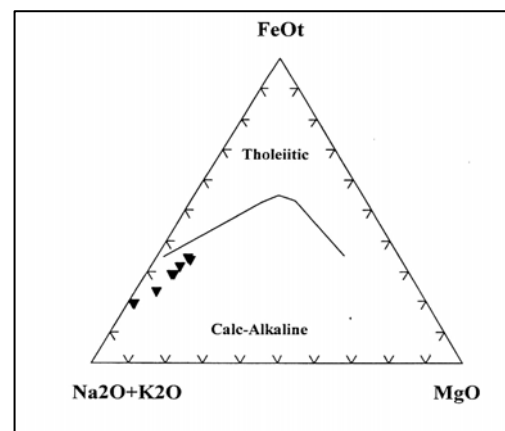
شکل ۱۷- نمودار (Irvine&Baragar 1971) برای تفکیک سریهای
ماگمایی برای گرانیتوییدهای بن دونو



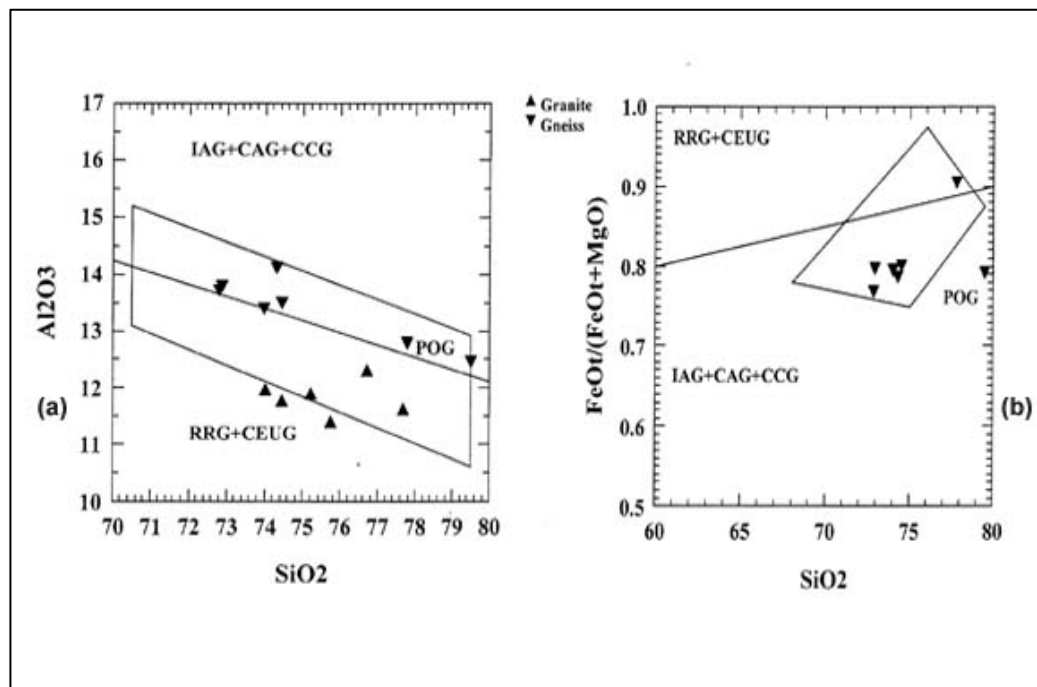
شکل ۱۶- نمودار (Streckeisen 1989) برای مقایسه نتایج کانی شناسی
موdal گرانیتها و گنیسهای بن دونو



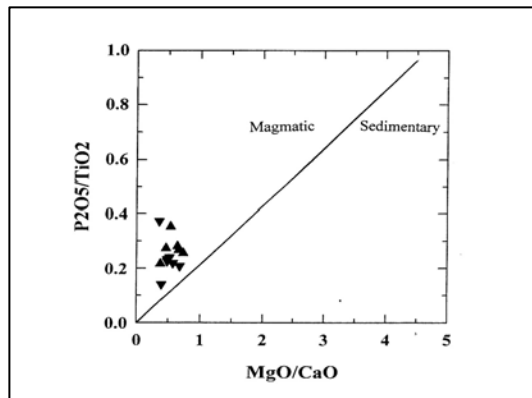
شکل ۱۹- نمودار AFM برای تفکیک سریهای ماقمایی برای سنگهای گرانیتوییدی منطقه



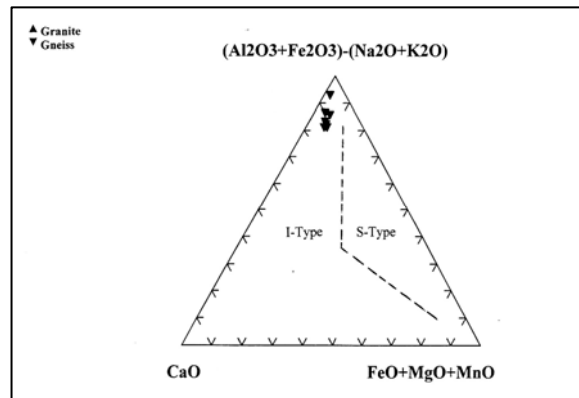
شکل ۲۰- نمودار AFM برای تفکیک سریهای ماقمایی برای گرانیتوییدهای بن دونو



شکل ۲۱- نمودارهای Maniar&Piccoli (1989) برای تعیین محیط زمین ساختی گرانیتوییدهای منطقه



شکل ۲۲- نمودار Werner (1987) برای شناسایی گرانیتها و گنیسهای ماگمایی از رسویی بر اساس عناصر اصلی برای گرانیتویدهای منطقه بن دونو



شکل ۲۱- نمودار ACF برای تفکیک گرانیتهای تیپ I و S برای گرانیتویدهای منطقه بن دونو

جدول ۱ - تجزیه مودال گرانیتهای بن دونو

Mineralogy Number	Qtz	Kf	Pl	Bt	Ms	Zr	Ru	Tn	Total
1/NSM-33	30	24	14	21	10	<1	-	-	100
2/NSM-31	30	23	17	22	6	<1	-	-	100
3/7-83-OP1	31	21	28	14	5	<1	-	-	100
4/NSM-35	33	27	17	17	4	<1	-	-	100
5/4-83-TS7	36	25	28	5	3	<1	2	-	100
6/7-83-CD1	35	21	26	14	3	<1	-	-	100
7/4-83-OP15	36	26	16	13	7	<1	-	-	100
8/6-83-GM3	35	25	21	13	2	<1	-	1	100
9/6-83-GM6	30	24	26	16	2	<1	1	-	100
10/83-6-TS2	38	30	16	9	4	<1	-	-	100
11/83-6-GS7	30	22	26	8	13	<1	-	-	100

Qtz : کوارتز Kf : پلاژیوکلاز Pl : بیوتیت Bt : مسکوویت Ms : فلدسپار پتاسم

جدول ۲ - تجزیه مودال گنیسهای بن دونو

Mineralogy Number	Qtz	Or	Mic	Per	Pl	Bt	Ms	Op	Zr	Tn	Total
1/OP-83-3	29	18	3	4	25	15	4	1	1	-	100
2/GS-83-10	32	4	18	9	16	10	8	-	1	1	100
3/OP-83-4	31	4	11	14	20	13	5	-	1	1	100
4/TB-22	34	12	6	8	19	12	7	1	1	-	100
5/TS-83-10	31	3	12	6	27	13	3	1	1	1	100
6/TS-83-8	34	6	16	9	14	15	5	-	1	-	100
7/GM-83-2	31	11	4	10	20	17	6	-	1	-	100
8/NSM-32	30	21	5	4	21	11	5	-	1	-	100
9/NSM-37	33	12	8	4	23	12	4	-	1	1	100
10/NSM-47	35	19	3	4	14	16	7	1	1	-	100
11/4-83-OP6	31	3	12	5	28	15	3	-	1	2	100
12/NSM-20	34	13	12	3	21	10	3	-	1	-	100
13/NSM-27	32	7	5	12	20	16	5	-	1	2	100
14/4-83-OP-7	30	4	12	13	21	14	4	-	1	1	100

Qtz: کوارتز، Or: اورتوکلاز، Mic: میکروکلین، er: پرتیت، Pl: پلاژیوکلاز، Bt: بیویت، Ms: مسکوویت، Op: کانی تیره، Zr: زیرکن، Tn: اسفن

جدول ۳ - نتایج تجزیه شیمیایی گرانیتهای منطقه بن دونو (روش XRF)

RockName	Sample	SiO ₂	Al ₂ O ₃	Fe ₂ O ₃	CaO	Na ₂ O	MgO	K ₂ O	TiO ₂	MnO	P ₂ O ₅
Granite	83-6-GM-6	74.02	11.98	3.39	1.33	2.22	0.99	4.31	0.416	0.016	0.109
Granite	83-6-GS-7	75.73	11.42	2.85	1.59	2.67	1.02	2.96	0.412	0.018	0.118
Granite	NSM-33	75.19	11.90	3.16	1.66	2.61	1.12	2.91	0.414	0.016	0.113
Granite	83-6-TS2	76.69	12.30	1	0.67	3.61	0.26	4.4	0.104	0.007	0.023
Granite	4-83 OP 15	77.68	11.64	1.86	0.7	2.80	0.38	4.06	0.182	0.009	0.065
Granite	NSM-33	74.45	11.79	3.38	1.92	2.56	0.89	3.07	0.396	0.021	0.111

Sample	L. O. I	Cl	S	Ba	Sr	Co	Cr	Cu	Nb	Ni
83-6-GM-6	0.76	184	12	823	37	1	1	6	3	7
83-6-GS-7	1.01	93	5	621	32	1	1	11	8	6
NSM-33	0.87	285	10	438	57	2	1	8	8	10
83-6-TS-2	0.48	49	5	368	78	1	1	9	4	12
4-83-OP-15	0.24	95	13	391	2	1	1	7	13	12
NSM-35	1.12	236	14	465	59	3	1	9	9	8

Sample	Pb	Rb	V	W	Y	Zr	Zn	Mo	U	Th
83-6-GM-6	111	122	45	<1	25	131	24	<1	3	17
83-6-GS-7	77	130	40	<1	20	137	32	<1	7	10
NSM-33	100	152	45	<1	23	141	29	<1	4	16
83-6 TS2	71	47	20	<1	28	118	27	<1	8	40
4-83 OP15	95	81	28	<1	25	99	29	<1	6	14
NSM35	105	137	42	<1	27	147	28	<1	3	9

جدول ۴- نتایج تجزیه شیمیایی گنیسهای منطقه بن دونو (روش XRF)

Rock Name	Sample	SiO ₂	Al ₂ O ₃	Fe ₂ O ₃	CaO	Na ₂ O	MgO	K ₂ O	TiO ₂	MnO	P ₂ O ₅
Gneiss	GM-83-2	74.29	14.11	3.07	1.11	2.79	0.75	3.22	0.356	0.025	0.073
Gneiss	GS-83-10	77.79	12.78	1.81	0.42	2.41	0.17	4.30	0.166	0.014	0.023
Gneiss	OP-83-3	72.88	13.78	3.94	1.84	22.33	0.90	3.65	0.447	0.024	0.103
Gneiss	OP-83-4	72.71	13.71	3.76	1.75	2.22	1.02	3.49	0.448	0.021	0.097
Gneiss	TB-22	79.51	12.45	1.64	1.08	3.43	0.39	1.15	0.178	0.010	0.066
Gneiss	TS-83-10	73.98	13.40	3.47	1.55	2.16	0.80	3.87	0.393	0.017	0.093
Gneiss	TS-83-8	74.46	13.48	3.06	1.41	2.48	0.68	3.64	0.352	0.017	0.078

Sample	L. O. I	Cl	S	Rb	Sr	V	W	Y	Zr	Zn	Mo
GM-83-2	0.03	150	13	85	86	37	<1	24	138	17	<1
GS-83-10	0.06	43	20	84	44	23	<1	22	107	25	<1
OP-83-3	0.07	299	16	115	146	50	14	24	160	27	<1
OP-83-4	0.05	271	12	103	132	48	<1	21	155	31	<1
TB-22	0.09	13	17	37	124	30	<1	16	78	24	3
TS-83-10	0.23	141	10	114	121	43	<1	26	134	28	<1
TS-83-8	0.13	124	11	99	118	41	<1	23	130	38	<1

Sample	Ba	Ce	Le	Co	Cr	Cu	Nb	Ni	Pb	U	Th
GM-83-2	670	88	32	5	1	13	7	19	6	12	20
GS-83-10	496	21	3	1	1	1	6	6	9	3	34
OP-83-3	780	15	6	6	12	1	6	8	14	6	19
OP-83-4	646	35	14	5	8	1	8	17	6	10	16
TB-22	194	10	4	7	1	1	4	2	10	5	6
TS-83-10	707	13	5	3	4	1	7	24	9	5	17
TS-83-8	819	34	20	9	1	1	1	12	2	9	12

کتابنگاری

اویسی، ب.، ۱۳۸۲- نقشه ۱:۱۰۰۰۰ سوریان . سازمان زمین شناسی و اکتشافات معدنی کشور .
 نوری خانکهدانی، ک.، ۱۳۸۴- بررسی ارتباط ژنتیکی و ساختمنی گنیسهای بن دونو با کمپلکس دگرگونی توپک شرق بوانات، رساله دکترای پرولوژی،
 دانشگاه آزاد اسلامی واحد علوم و تحقیقات تهران.
 هوشمندزاده، ع.، سهیلی، م.، ۱۳۶۹- شرح نقشه زمین شناسی ۱:۲۵۰۰۰۰ چهارگوش اقلید . سازمان زمین شناسی کشور.

References

- Alric,G., Virlogeux,D., 1977- Petrographie et geochemie des roches metamorphiques et magmatiques de la region de Dehbid, Bavanat , chaine de Sanandaj-Sirjan, Iran. These 3 eme cycle , Universite Scientifique et Medicale De Grenoble , France 316 P.
- Barker,A., 1991- Introduction to metamorphic textures and microstructures, Blackie, NewYork.
- Buttner,S.H., 1999- The geometric evolution of structures in granite during continuous deformation from magmatic to solid state condition, American Mineralogist, V. 84, pp(1781-1792).
- Irvine,T.N., Baragar,W.R.A., 1971- A guide to the Chemical classification of the common volcanic rocks. Canadian journal of earth Science, V.8, pp. 523-548.
- Maniar,P.D., Piccoli,P.M., 1989- Tectonic discrimination of granites, Geological Society of America BULLETIN , V. 101, pp. 635-643.
- Passchier,C.W., Trouw,R.A.J., 1998-, Microtectonics, Springer, NewYork.
- Passchier,C.W., Myers,J.S., Kroner,A., 1990- Field geology of high grade gneissic terrains. Springer , New York.
- Spear,F.S., Kohn,M.J., Chencry,J.T., Florence,F., 2002- Metamorphic , thermal and tectonic evolution of central New England. Journal of Petrology, V. 43, no. 11, pp 2097-2120.
- Streckeisen,A. ,1976- To each plutonic rocks its proper name , earth sciences researchs. V-12 pp.1-33
- Werner,C.D., 1987- Saxonian granulite igneous or lithogenous a contribution to the geochemiecal diagnosis of the original rocks in high-grade metamorphic complex Zfl- Mitteilungen , V. 133 , pp. 221-250.

*گروه زمین شناسی، دانشگاه آزاد اسلامی، واحد علوم و تحقیقات تهران

**پژوهشکده علوم زمین، سازمان زمین شناسی و اکتشافات معدنی کشور، تهران، ایران

***دانشکده علوم زمین، دانشگاه شهید بهشتی، تهران، ایران

*Dept. of Geology, Islamic Azad University, Sciences and Research Unit of Tehran

**Research Institute of Earth Sciences, Geological Survey of Iran, Tehran, Iran

***Earth Sciences Faculty, Shahid Beheshti University, Tehran, Iran